

Санкт–Петербургский государственный университет

*ИВКИН Кирилл Андреевич*

Выпускная квалификационная работа  
*Движение омниколесного робота по расчетной  
траектории*

Уровень образования: бакалавриат

Направление 01.03.02 «Прикладная математика и информатика»

Основная образовательная программа СВ.5005.2016 «Прикладная математика, фундаментальная информатика и программирование»

Профиль «Прикладная математика, информатика и процессы управления»

Научный руководитель:

доцент, кафедра механики управляемого движения,  
к.ф.- м.н., Шиманчук Дмитрий Викторович

Рецензент:

главный администратор CRIS-системы СПбГУ  
к.ф.-м.н., Лепихин Тимур Андреевич

Санкт-Петербург

2020 г.

# Содержание

<b>Введение</b> . . . . .	3
<b>Постановка задачи</b> . . . . .	4
<b>Обзор литературы</b> . . . . .	5
<b>Глава 1. Алгоритмы поиска пути</b> . . . . .	7
1.1. Метод декомпозиции на ячейки . . . . .	8
1.2. Метод потенциального поля . . . . .	9
1.3. Метод вероятностной дорожной карты . . . . .	10
1.4. Метод RRT . . . . .	11
<b>Глава 2. Решение задачи автономного движения</b> . . . . .	12
2.1. Математическая модель . . . . .	12
2.2. Синтез законов управления . . . . .	13
2.3. Первый режим работы робота . . . . .	16
2.4. Второй режим работы робота . . . . .	17
<b>Глава 3. Численный эксперимент</b> . . . . .	19
3.1. Построение пути следования . . . . .	19
3.2. Первый режим работы робота . . . . .	20
3.3. Второй режим работы робота . . . . .	23
<b>Заключение</b> . . . . .	26
<b>Список литературы</b> . . . . .	27
<b>Приложение 1</b> . . . . .	29
<b>Приложение 2</b> . . . . .	30
<b>Приложение 3</b> . . . . .	32

## Введение

Человек с давних времен пытался создать роботов. Еще в античности люди мечтали о гигантских бронзовых машинах, которые были бы способны помочь сражаться с врагами. Были даже попытки создания механических фигур, упоминания о которых были найдены в записках арабского изобретателя Аль-Джазари, датируемых примерно 1136-1206 годами. Первым, кто представил чертеж человекоподобного робота, был Леонардо Да Винчи. И не смотря на столь давнее начало развития робототехники, только в 1921 году механизмы обрели четкий термин «робот». Исходя из истории можно заметить, что робот всегда был мечтой человека, которая сейчас воплощается в реальность.

В современном мире интеграция технологий в повседневную жизнь является одним из важнейших факторов развития человечества. В связи с этим в различных сферах деятельности человека все чаще применяется робототехника, а в особенности мобильные роботы, которые позволяют выполнять работу невозможную или опасную для человека, например в зонах химического заражения или в завалах шахт.

Автономным роботом будем называть робототехнический объект способный выполнять действия с высокой степенью автономии, основываясь на данных, получаемых им от датчиков или на шаблонах поведения.

Под автономным мобильным роботом будем понимать робототехнический объект, способный перемещаться самостоятельно в пространстве, основываясь на показаниях датчиков установленных на роботе или на получаемых извне данных, например по радиосвязи.

## Постановка задачи

Будем решать задачу автономного движения четырехколесного омниколесного робота по расчетной траектории. Пусть имеется карта некоторого участка местности с отмеченными на ней препятствиями. Необходимо рассчитать траекторию движения омниколесного робота из начальной точки в конечную в виде набора точек  $P_j, j = \overline{0, n}$ , обеспечивающего обход статических препятствий. Затем синтезировать закон управления мобильным роботом в виде  $\omega_i = \omega_i(\rho_j, \alpha_j), i = \overline{1, 4}$ , где  $\omega_i$  – угловая скорость  $i$ -ого колеса,  $\alpha_j$  – курсовой угол на  $P_j$ ,  $\rho_j$  – расстояние до  $P_j$  и реализовать алгоритм автономного движения, при котором робот переместится из начальной точки  $P_0$  в конечную  $P_n$ .

Целью работы является построение программного комплекса по моделированию автономного движения омниколесного робота.

## Обзор литературы

В ходе исследования был проведен обзор научной литературы, а также интернет-ресурсов.

Были изучены алгоритмы поиска пути, такие как: декомпозиция на ячейки, метод потенциального поля, метод вероятностной дорожной карты, а также метод RRT. Вышеупомянутые алгоритмы более подробно рассмотрены в источниках [1] и [2] списка литературы.

Было проведено исследование кинематической модели омниколесного робота с четырьмя независимо управляемыми колесами. Примеры такого робота: Kuka YouBot (Рис. 1), Segway RMP (Рис. 2), Uranus (Рис. 3). Эта модель активно использовалась в дальнейшей работе, она описана в источниках [3] и [4] списка литературы.

Был проведен анализ статьи [5], в которой представлен алгоритм управления мобильным омниколесным роботом по отклонению для движения по траектории.

Исследовано построение законов управления в форме обратной связи по курсовому углу и расстоянию до целевой точки для двухколесного мобильного робота. Детальное исследование вопроса проведено в статье [6]. Полученные результаты были в дальнейшем адаптированы для использования в изучаемой модели.

Для построения кинематической модели робота, а так же для реализации алгоритма автономного движения омниколесного робота по расчетной траектории были реализованы при помощи прикладных пакетов MATLAB & Simulink. Документация к программному обеспечению доступна на сайте [7].



Рис. 1: Kuka YouBot.

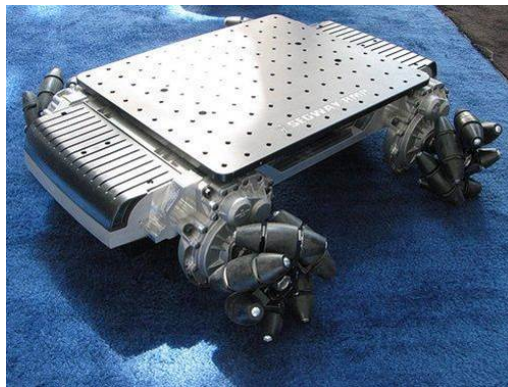


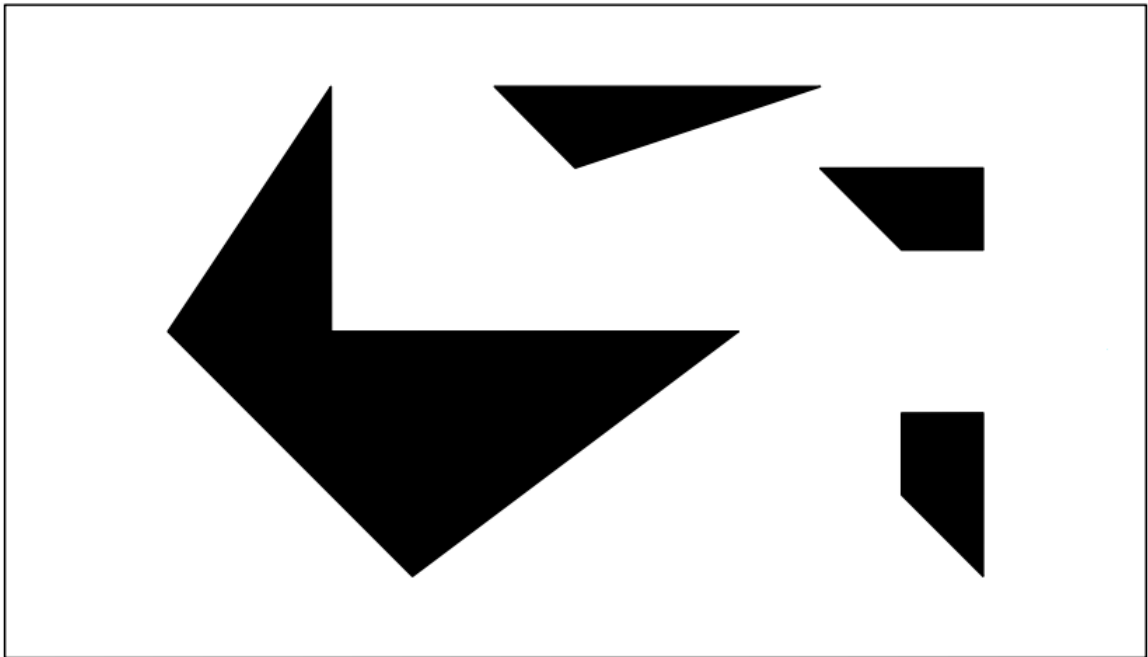
Рис. 2: Segway RMP.



Рис. 3: Uranus.

## Глава 1. Алгоритмы поиска пути

Для решения поставленной задачи нам необходимо рассчитать траекторию движения робота на основе карты некоторого участка местности с отмеченными препятствиями. Для этого в робототехнике применяются разнообразные алгоритмы построения пути, некоторые из них будут рассмотрены ниже.



**Рис. 4:** Карта препятствий.

Под картой препятствий (Рис. 4) понимается размеченная область, где черные области – это области препятствий, которых робот должен избегать, белая область – область поиска пути. В качестве карты также можно использовать матрицу размерности  $m \times n$ , где белой области ставится в соответствие нулевые элементы матрицы, а черной – единичные.

## 1.1 Метод декомпозиции на ячейки

Основная идея метода декомпозиции на ячейки (Рис. 5) в разбиении свободного пространства на более мелкие треугольные и трапециевидальные секции, называемые ячейками. После деления пространства на ячейки строится граф связности, включающий в себя все возможные пути перемещения робота от начальной точки в конечную. Далее выбирается один из путей, оптимальный по какому либо критерию, указанному пользователем, например может выбираться самый короткий маршрут. Полученная последовательность вершин графа является искомым последовательностью точек  $P_0 \dots P_n$ .

---

### Алгоритм 1 Метод декомпозиции на ячейки

---

- 1: Получаем конфигурационное пространство  $Q$  на основе карты местности.
  - 2: Добавляем начальную и конечную точки в  $Q$ .
  - 3: Производится декомпозиция  $Q$  на ячейки.
  - 4: Определяются вершины графа связности на сторонах смежных ячеек.
  - 5: Определяются вершины графа связности в геометрическом центре ячеек.
  - 6: Формируются ребра графа связности.
  - 7: Определяются последовательности ребер, соединяющих начальную и конечную вершины графа.
  - 8: Выбирается оптимальная последовательность ребер.
- 

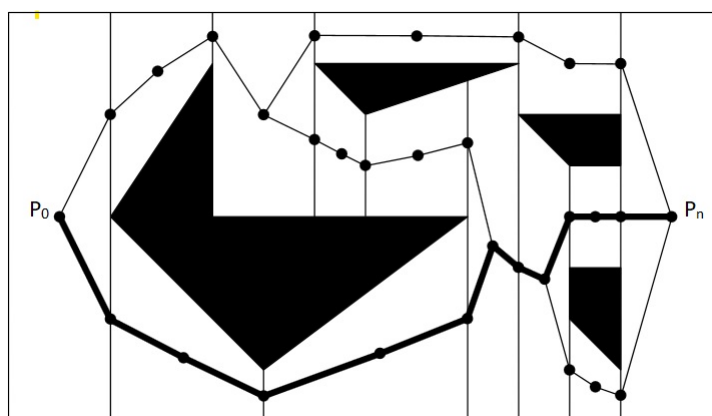


Рис. 5: Метод декомпозиции на ячейки.

## 1.2 Метод потенциального поля

В основе метода потенциальноо поля (Рис. 6) лежит идея представления робота в качестве частицы движущейся под воздействием некоторой функции потенциального поля. Конечная точка считается аттрактором, то есть областью притяжения, препятствия – репеллерами, то есть зонами отталкивания. После чего решается задача на поиск глобального минимума функции потенциального поля. Определенный в результате маршрут можно аппроксимировать последовательностью прямых, что позволит получить набор точек  $P_0 \dots P_n$ .

---

### Алгоритм 2 Метод потенциального поля

---

- 1: Получаем конфигурационное пространство  $Q$  на основе карты местности.
  - 2: Добавляем начальную и конечную точки в  $Q$ .
  - 3: Задается аттрактивный компонент потенциального поля.
  - 4: Задается репульсивный компонент потенциального поля.
  - 5: Аттрактивный и репульсивный компоненты комбинируются.
  - 6: Решается оптимизационная задача поиска глобального минимума функции потенциального поля.
  - 7: Определяется маршрут, соединяющий начальную и конечную точки.
- 

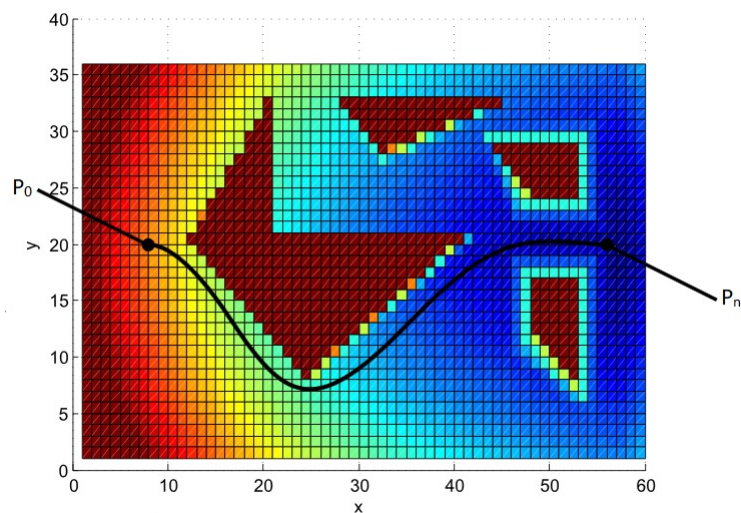


Рис. 6: Метод потенциального поля.

### 1.3 Метод вероятностной дорожной карты

Коллизией будем называть пересечение пути между двумя точками с препятствием. Идея метода вероятностной дорожной карты (Рис. 7) в использовании случайных выборок точек в свободном пространстве и создания графа связности на основе этих выборок. Затем по построенному графу строится маршрут из начальной точки в конечную. Полученная последовательность вершин является искомым набором точек  $P_0 \dots P_n$ . Данный метод достаточно прост в реализации.

---

#### Алгоритм 3 Метод вероятностной дорожной карты

---

- 1: Получаем конфигурационное пространство  $Q$  на основе карты местности.
  - 2: Добавляем начальную и конечную точки в  $Q$ .
  - 3: Производится случайная выборка  $n$  конфигураций.
  - 4: Ближайшие узлы соединяются отрезками, если на пути между ними нет коллизий.
  - 5: Пункты 2 и 3 повторяются до того момента пока не получится непрерывный путь из начальной точки в конечную или счетчик итераций не дойдет до конца.
  - 6: Определяется маршрут, соединяющий начальную и конечную точки.
- 

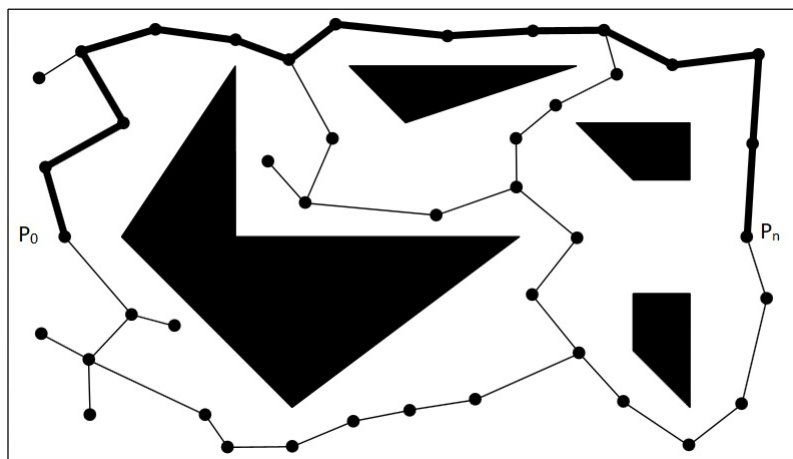


Рис. 7: Метод вероятностной дорожной карты.

## 1.4 Метод RRT

В методе RRT (Рис. 8) используется понятие случайного дерева. На первом шаге алгоритма в «пустое» дерево  $T$  добавляется вершина соответствующая начальной точке. На каждой итерации метода в дерево добавляется случайный узел, итерации происходят до тех пор пока не достигнута цель или не исчерпан счетчик итераций. Полученная последовательность узлов дерева является искомым набором точек  $P_0 \dots P_n$ . Качество построения маршрута, может варьироваться от случая к случаю.

---

### Алгоритм 4 Шаг метода RRT

---

- 1: Случайным образом делаем выборку узла  $R$ .
  - 2: Находим в  $T$  ближайший к  $R$  узел  $K$ .
  - 3: По лучу от  $K$  до  $R$  делаем шаги на малую величину, пока не выполнится одно из условий:
    - наличие коллизии;
    - достигли максимального расстояния от  $K$ .
  - 4: Если узел цели находится в пределах максимального расстояния и на пути от него к целевой точке нет коллизии, у нас есть решение.
- 

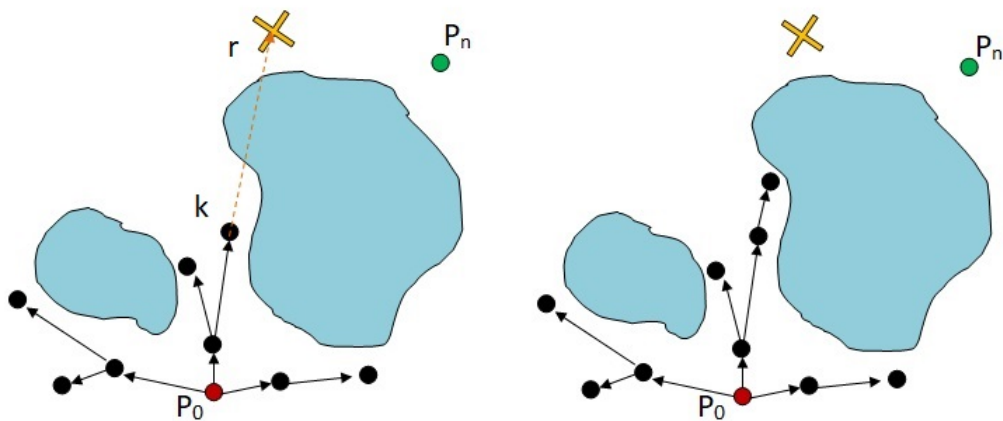


Рис. 8: Шаг метода RRT.

## Глава 2. Решение задачи автономного движения

В данной главе будет рассмотрена математическая модель омниколесного робота, а также будут построены законы управления автономным мобильным роботом.

### 2.1 Математическая модель

Рассмотрим модель омниколесного робота с 4 независимо управляемыми колесами (Рис. 9). Особенность его конструкции заключается в специального вида колесах. Вместо протектора колеса прикрепляются свободно вращающиеся ролики под углом в 45 градусов. Такая конструкция позволяет роботу двигаться в любом направлении, варьируя угловые скорости поворота колес.

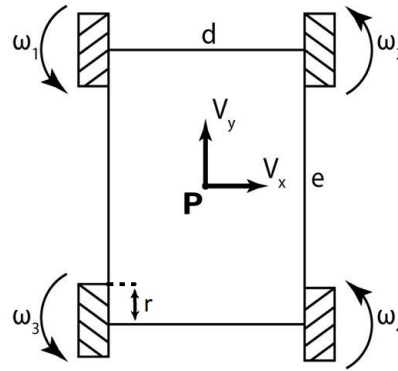


Рис. 9: Схема омниколесного робота.

Кинематическая модель робота описывается следующим матричным равенством [3]:

$$\begin{pmatrix} V_x \\ V_y \\ \omega \end{pmatrix} = r \begin{pmatrix} \frac{1}{4} & \frac{1}{4} & \frac{1}{4} & \frac{1}{4} \\ -\frac{1}{4} & \frac{1}{4} & \frac{1}{4} & -\frac{1}{4} \\ -\frac{1}{2(d+e)} & \frac{1}{2(d+e)} & -\frac{1}{2(d+e)} & \frac{1}{2(d+e)} \end{pmatrix} \begin{pmatrix} \omega_1 \\ \omega_2 \\ \omega_3 \\ \omega_4 \end{pmatrix},$$

где  $V_x$  — линейная скорость вдоль оси робота,  $V_y$  — линейная скорость пер-

пендикулярно оси робота,  $\omega$  – угловая скорость робота,  $\omega_i$  – угловая скорость  $i$ -ого колеса,  $i = \overline{1,4}$ ,  $d$  – ширина робота,  $e$  – длина робота,  $r$  – радиус колес робота (см. Рис. 8).

Для того чтобы решать поставленную задачу нам необходимо решение обратной задачи кинематики для указанной модели. Оно представляется в виде [3]:

$$\begin{pmatrix} \omega_1 \\ \omega_2 \\ \omega_3 \\ \omega_4 \end{pmatrix} = \frac{1}{r} \begin{pmatrix} 1 & -1 & -\frac{d+e}{2} \\ 1 & 1 & \frac{d+e}{2} \\ 1 & 1 & -\frac{d+e}{2} \\ 1 & -1 & \frac{d+e}{2} \end{pmatrix} \begin{pmatrix} V_x \\ V_y \\ \omega \end{pmatrix}. \quad (1)$$

## 2.2 Синтез законов управления

Для навигации общей модели подвижного объекта в полярных координатах при переходе от точки  $P_{j-1}$  к точке  $P_j$  можно определить задачу в виде  $\rho_j \rightarrow 0, \alpha_j \rightarrow 0$ , где  $\rho_j$  – расстояние от полюса робота до целевой точки  $P_j$ ,  $\alpha_j$  – курсовой угол на целевую точку  $P_j$ . Закон управления будем строить в виде  $\omega_i(\rho_j, \alpha_j)$ ,  $i = \overline{1,4}$ .

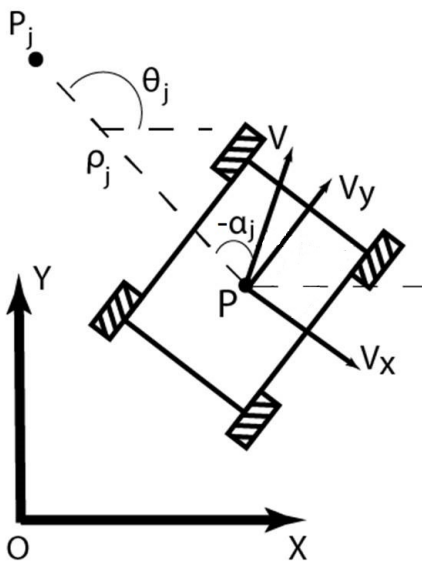


Рис. 10: Схема омниколесного робота в полярных координатах.

В полярных координатах навигация робота может быть определена следующей системой уравнений:

$$\begin{cases} \dot{\rho}_j = -V \cos(\alpha_j), \\ \dot{\alpha}_j = \omega + V \frac{\sin(\alpha_j)}{\rho_j}, \\ \dot{\theta}_j = -V \frac{\sin(\alpha_j)}{\rho_j}, \end{cases} \quad (2)$$

где  $V$  – величина линейной скорости полюса робота,  $\theta_j$  – угол между осью  $O_X$  и вектором, направленным из центра робота к целевой точке,  $j = \overline{1, n}$  (см. Рис. 10).

Из уравнений видно, что робот может управляться с помощью значений угловой  $\omega$  и линейной  $V$  скоростей. Будем искать такие значения  $V$  и  $\omega$ , при которых выполняется условие поставленной задачи  $\rho_j \rightarrow 0, \alpha_j \rightarrow 0$ . Для этого воспользуемся математическим аппаратом функции Ляпунова. Согласно [6] в качестве функции Ляпунова рассмотрим квадратичную функцию, аргументами которой будут являться расстояние до цели и курсовой угол, то есть

$$L(\rho_j, \alpha_j) = \frac{1}{2}\rho_j^2 + \frac{1}{2}\alpha_j^2.$$

Из условия:

$$\dot{L}(\rho_j, \alpha_j)|_{(2)} = -V\rho_j \cos(\alpha_j) + \alpha_j(-\omega + V \frac{\sin(\alpha_j)}{\rho_j}) < 0$$

можно выбрать в качестве управляющего воздействия следующие значения скоростей:

$$\begin{cases} V = V_{ref} f(\rho_j) \cos(\alpha_j), \\ \omega = -k_\omega \alpha_j - \frac{V_{ref} f(\rho_j) \sin(\alpha_j) \cos(\alpha_j)}{\rho_j}, \end{cases} \quad (3)$$

где  $V_{ref} > 0, k_\omega > 0$ , функция  $f(\rho_j)$  может быть выбрана в виде  $sign(\rho_j)$ ,  $\tanh(\rho_j)$  или  $\frac{2}{1+e^{-ax}} - 1$ , где  $a \geq 1$ . Вариант решения задачи, когда  $f(\rho_j) = \tanh(\rho_j)$ , был рассмотрен в [6] и назывался тангенциальным избеганием. Выражение (3) решают задачу перемещения общей модели подвижного объекта в целевую точку  $P_j$ .

Выполняя подстановку значений угловой и линейной скоростей из (3)

в (2) получаем

$$\begin{cases} \dot{\rho}_j = -f(\rho_j) \cos^2(\alpha_j) V_{ref}, \\ \dot{\alpha}_j = -k_\omega \alpha_j \\ \dot{\theta}_j = -\frac{V_{ref} f(\rho_j) \sin(\alpha_j) \cos(\alpha_j)}{\rho_j}. \end{cases} \quad (4)$$

Далее, преобразуем (3):

$$\begin{cases} V_X = V_{ref} f(\rho_j) \cos(\alpha_j) \cos(\psi_j), \\ V_Y = V_{ref} f(\rho_j) \cos(\alpha_j) \sin(\psi_j), \\ \omega = -k_\omega \alpha_j - \frac{V_{ref} f(\rho_j) \sin(\alpha_j) \cos(\alpha_j)}{\rho_j}, \end{cases} \quad (5)$$

где  $V_X, V_Y$  – проекции вектора скорости на оси абсолютной системы координат,  $V_{ref}$  – допустимая линейная скорость робота,  $k_\omega$  – коэффициент отвечающий за скорость изменения угловой скорости робота, подбирается для конкретной модели,  $f(\rho_j)$  – функция зависящая от расстояния до точки и в идеальном случае являющаяся функцией  $\text{sign}(\rho_j)$ ,  $\psi_j = \theta_j + \alpha_j$  – угол между направлением линейной скорости полюса  $P$  и осью  $O_X$ .

Заметим, что интегрируя уравнение (4) с начальными данными:

$$\begin{cases} \rho_j(0) = \rho_j^0, \\ \alpha_j(0) = \alpha_j^0, \\ \theta_j(0) = \theta_j^0, \end{cases}$$

и выполняя подстановку полученных функций  $\rho_j(t)$ ,  $\alpha_j(t)$  и  $\theta_j(t)$  в (5) можно получить значения программных законов управления.

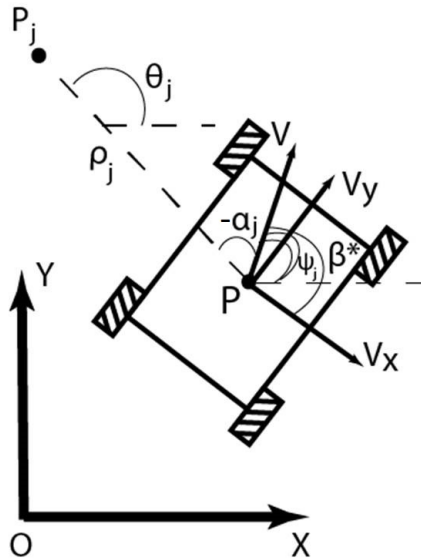
Далее, учитывая механику омниколесного робота, задачу автономного движения можно рассматривать в двух случаях: вектор линейной скорости полюса фиксирован относительно омниколесного робота или его направление изменяется в зависимости от угловых скоростей омниколес.

## 2.3 Первый режим работы робота

Для первого случая вектор  $\{\frac{V_x}{V}, \frac{V_y}{V}\} - \text{const}$ . В данном режиме все слагаемые в формуле (2) сохраняют свой смысл и ориентация омниколесного робота определяется направлением вектора скорости. Автономное движение омниколесного робота, учитывая (5), осуществляется управляющими воздействиями:

$$\begin{cases} V_x = V_X \cos(\psi_j - \beta^*) + V_Y \sin(\psi_j - \beta^*), \\ V_y = -V_X \sin(\psi_j - \beta^*) + V_Y \cos(\psi_j - \beta^*) \\ \omega = -k_\omega \alpha_j - \frac{V_{ref} f(\rho_j) \sin(\alpha_j) \cos(\alpha_j)}{\rho_j}, \end{cases} \quad (6)$$

где  $\beta^* = \text{atan2}(V_y, V_x)$  – угол между вектором скорости полюса  $P$  и направлением  $P_x$ . Для данного режима работы характерно то, что угловая скорость робота  $\omega$  и угловая скорость вектора скорости робота  $V$  совпадают. Ниже представлена схема омниколесного робота для первого режима работы робота (Рис. 11).



**Рис. 11:** Схема робота для первого режима работы.

## 2.4 Второй режим работы робота

Для второго режима работы робота (Рис. 12) необходимо ввести в рассмотрение параметр  $\beta$ , с помощью которого определяется ориентация системы координат  $P_{xy}$  (омниколесного робота) относительно абсолютного пространства  $O_{XY}$ . В этом случае система (4) переписывается в следующем виде:

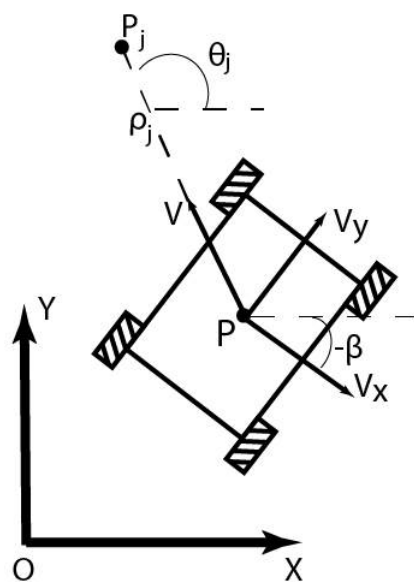
$$\begin{cases} \dot{\rho} = -V_{ref}f(\rho_j), \\ \alpha_j \equiv 0, \\ \theta_j = c_j - const, \\ \omega = \dot{\beta}, \end{cases} \quad (7)$$

а автономное движение омниколесного робота, учитывая (5) и (7), осуществляется управляющими воздействиями:

$$\begin{cases} V_x = V_X \cos(\beta) + V_Y \sin(\beta), \\ V_y = -V_X \sin(\beta) + V_Y \cos(\beta), \\ \omega = \dot{\beta}. \end{cases} \quad (8)$$

В этом случае вектор скорости робота всегда направлен в целевую точку, а сама угловая скорость может быть определена некоторой заданной функцией, которой отвечает введенный нами параметр  $\beta$ . Нужно заметить, что в данном режиме работы угловая скорость вектора скорости робота и угловая скорость робота различны. Такое возможно реализовать, учитывая особенности омниколесного робота.

Подставляя полученные значения  $V_x$ ,  $V_y$  и  $\omega$  для одного из режимов работы робота (6) или (8) в решение обратной задачи кинематики (1), получим значения угловых скоростей колес робота  $\omega_i = \omega_i(\rho_j, \alpha_j), i = \overline{1, 4}$ .



**Рис. 12:** Схема робота для второго режима работы.

## Глава 3. Численный эксперимент

Для численного эксперимента, средствами MATLAB & Simulink, были реализованы построение маршрута робота, а также модели для первого и второго режима работы робота.

### 3.1 Построение пути следования

Для построения пути следования мобильного робота будем использовать метод вероятностной дорожной карты, входящем в состав Robotics System Toolbox. Он является модификацией метода, рассмотренного в пункте 1.3 данной работы. Отличие от предыдущего метода заключается в том, что в используемом для эксперимента выборка из  $n$  точек генерируется один раз, а затем строятся все возможные пути, попарно соединяющие точки на заданном расстоянии  $\Delta$  друг от друга, если на пути между ними нет коллизий. Таким образом у модифицированного алгоритма одна итерация.

Для построения траектории была взята квадратная карта длина и ширина которой 0.5 метра с отмеченными на ней препятствиями.

Начальная точка: (0.5, 0.5). Конечная точка: (0.5, 3.5). Размер выборки: 200 точек.  $\Delta = \infty$ .

Была построена следующая траектория (Рис. 13):

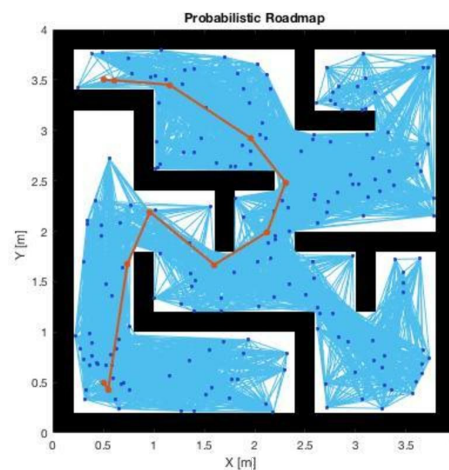


Рис. 13: Расчетная траектория движения робота.

Далее несколько модифицируем полученный маршрут, а именно исключаем из полученного набора точек вторую и предпоследнюю.

Таким образом, был получен набор точек  $P_j$ ,  $j = \overline{0, n}$ , которые будем использовать для последующих вычислений.

## 3.2 Первый режим работы робота

Рассмотрим результаты компьютерного моделирования первого режима работы робота. В модели используется траектория полученная в пункте 3.1 данной работы. Целевая точка считается достигнутой если  $\alpha_j \leq \epsilon$ ,  $\rho_j \leq \delta$ .

Параметры модели для численного эксперимента:

$e = 0.2\text{м}$ ,  $d = 0.1\text{м}$ ,  $r = 0.03\text{м}$ ,  $k_\omega = 0.1$ ,  $V_{ref} = 0.01\text{м/с}$ ,  $\epsilon = 10^{-6}\text{м}$ ,  $\delta = 10^{-4}\text{м}$ ,  $\beta^* = 0.3805$ ,  $f(\rho_j) = \tanh(\rho_j)$ .

Рассмотрим полученные результаты:

1. График маршрута омниколесного робота (Рис. 14), здесь синей линией отмечена расчетная траектория, а красной траектория движения робота. Красные точки на графике – точки перехода от движения к  $P_j$  к движению к  $P_{j+1}$ .
2. Графики изменения расстояния до целевой точки и курсового угла на нее (Рис. 15).
3. Графики изменения проекций линейной скорости робота на абсолютные оси координат и угловой скорости робота (Рис. 16).
4. Графики изменения угловых скоростей колес робота (Рис. 17).

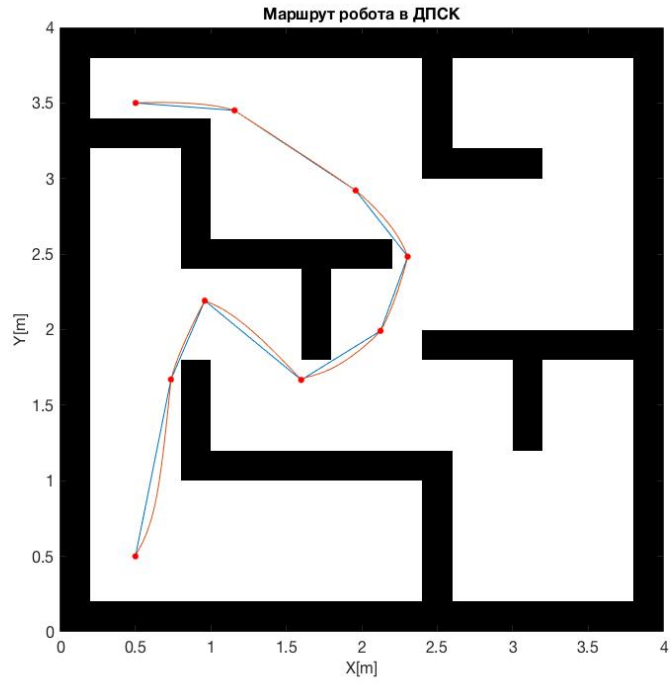


Рис. 14: Маршрут робота в ДПСК.

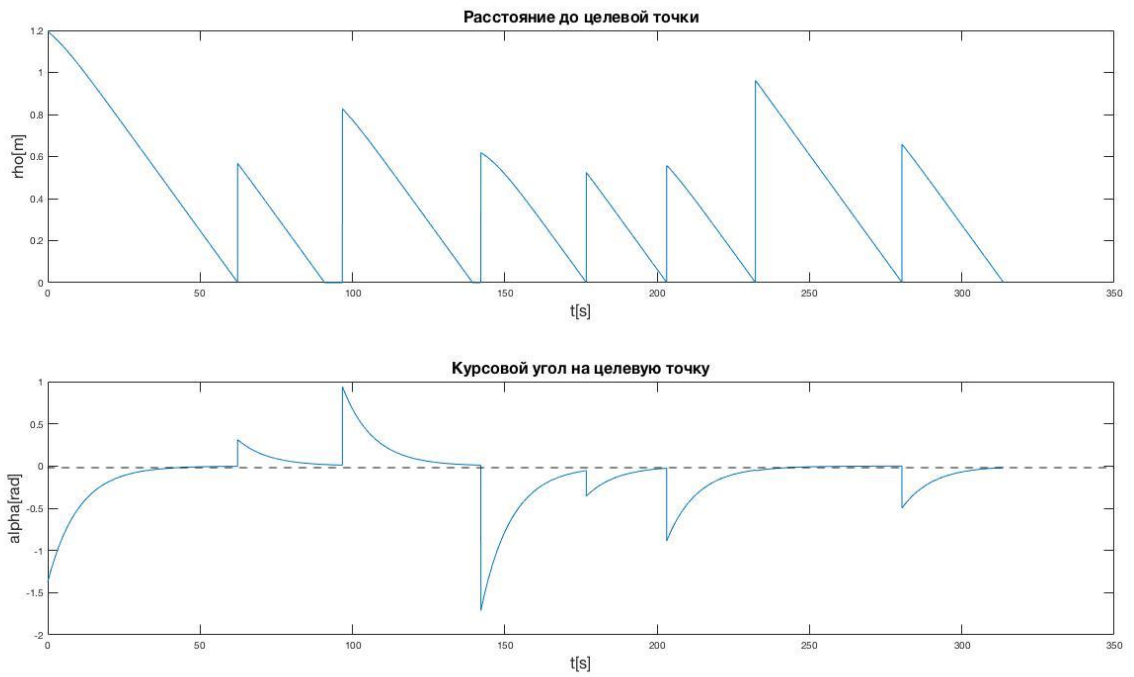


Рис. 15: Графики для  $\rho$  и  $\alpha$ .

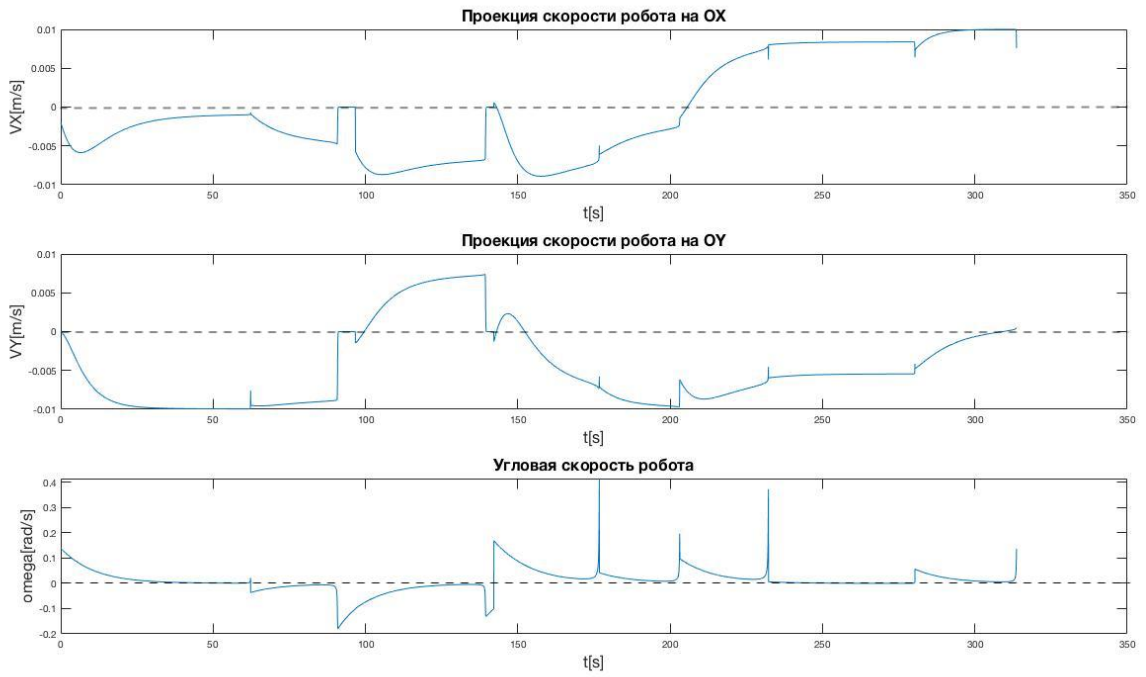


Рис. 16: Графики для  $V_X$ ,  $V_Y$  и  $\omega$ .

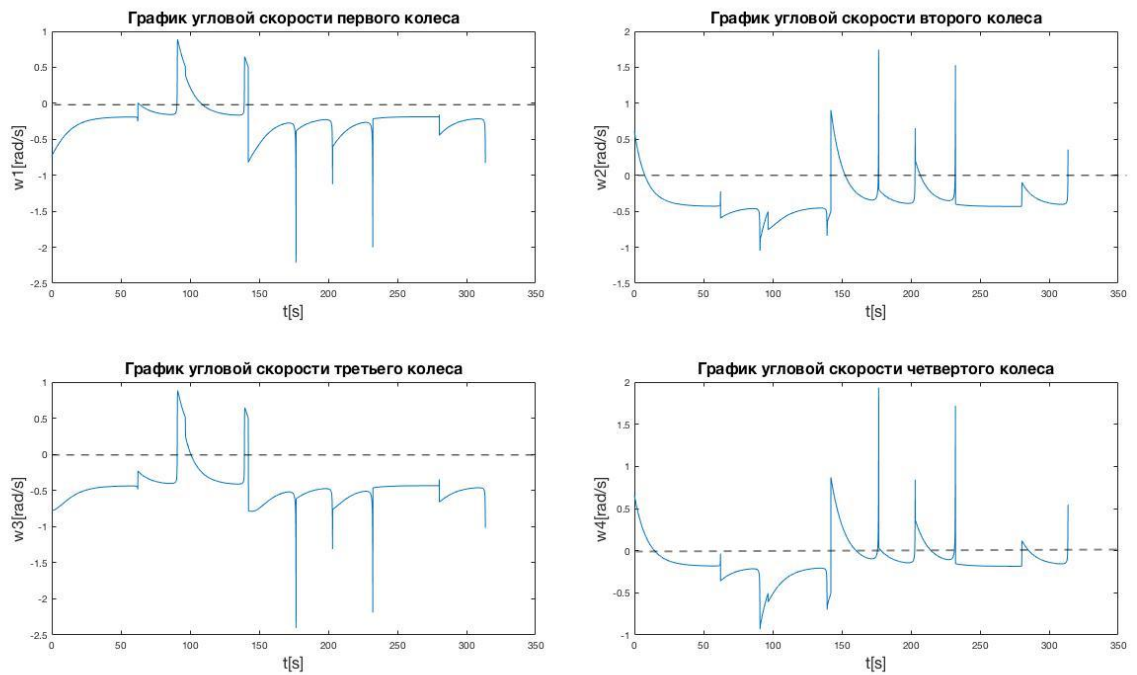


Рис. 17: Графики угловых скоростей колес робота.

### 3.3 Второй режим работы робота

Перейдем к моделированию второго режима работы робота. В модели также используется траектория постоянная в пункте 3.1. Целевая точка считается достигнутой если  $\rho_j \leq \delta$ . Условие для альфа не требуется, это следует из формулы (7).

Параметры модели для численного эксперимента:

$$e = 0.2\text{м}, d = 0.1\text{м}, r = 0.03\text{м}, k_\omega = 0.1, V_{ref} = 0.01\text{м/с}, \delta = 10^{-4}\text{м}, \\ \beta = 5, f(\rho_j) = \tanh(\rho_j).$$

Рассмотрим полученные результаты:

1. График маршрута омниколесного робота (Рис. 18), здесь синей линией отмечена расчетная траектория, а красной траектория движения робота. Красные точки на графике – точки перехода от движения к  $P_j$  к движению к  $P_{j+1}$ .
2. Графики изменения расстояния до целевой точки (Рис. 19).
3. Графики изменения проекций линейной скорости робота на абсолютные оси координат и угловой скорости робота (Рис. 20).
4. Графики изменения угловых скоростей колес робота (Рис. 21).

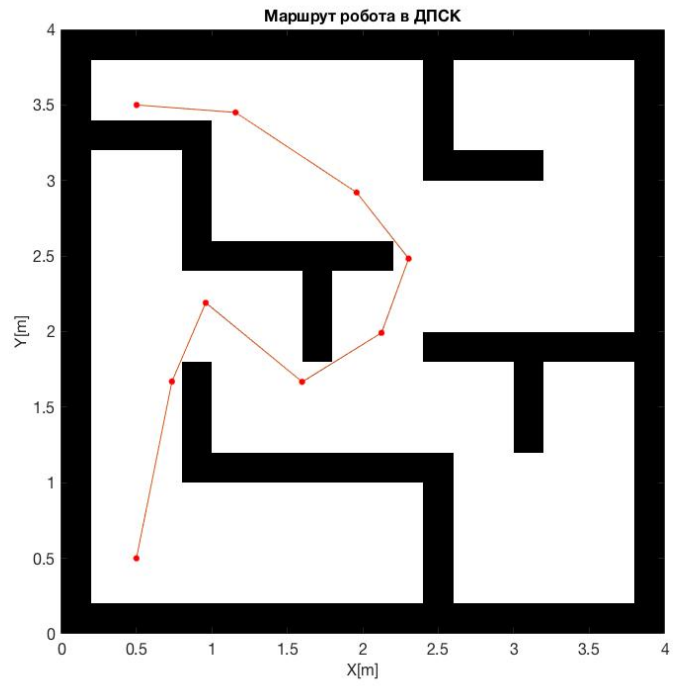


Рис. 18: Маршрут робота в ДПСК.

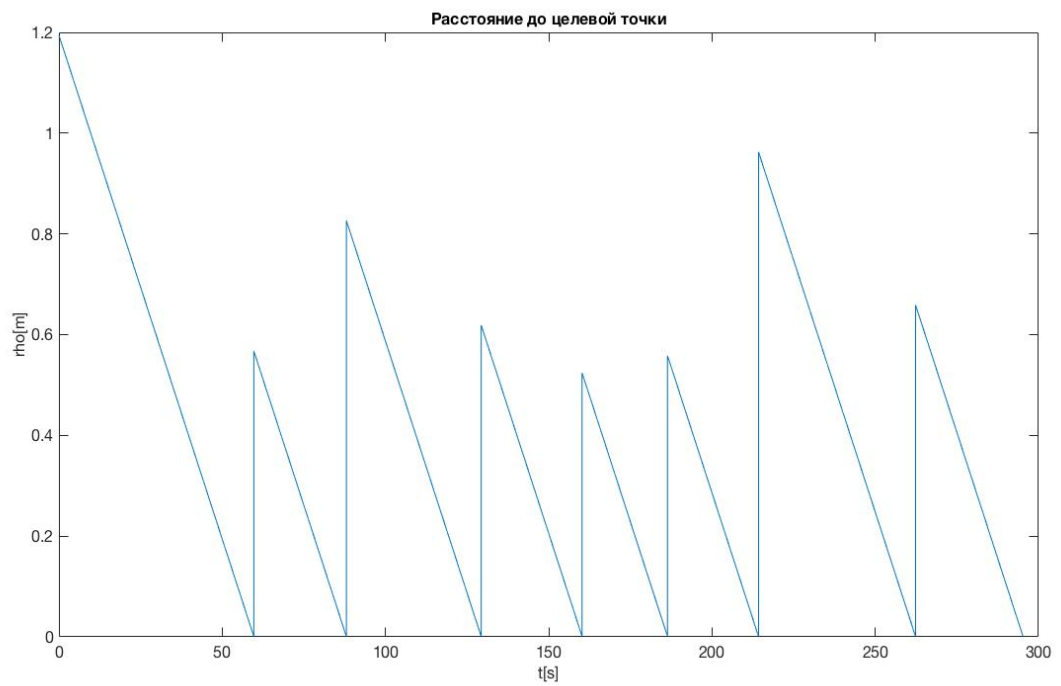


Рис. 19: График для  $\rho$ .

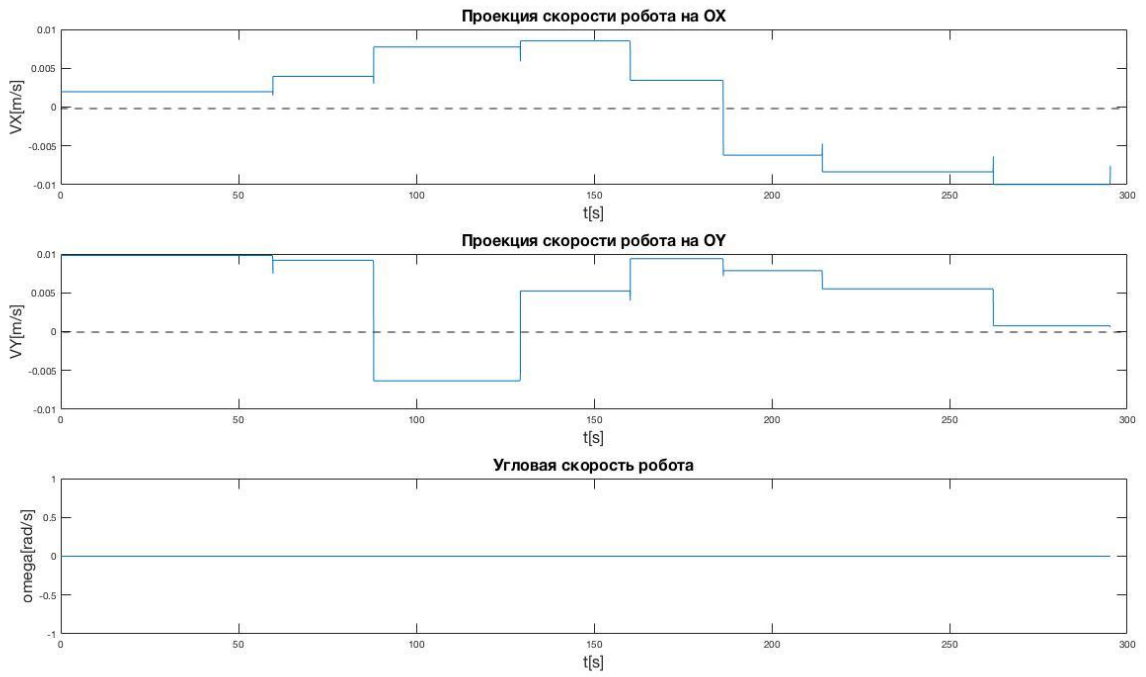


Рис. 20: Графики для  $V_X$ ,  $V_Y$  и  $\omega$ .

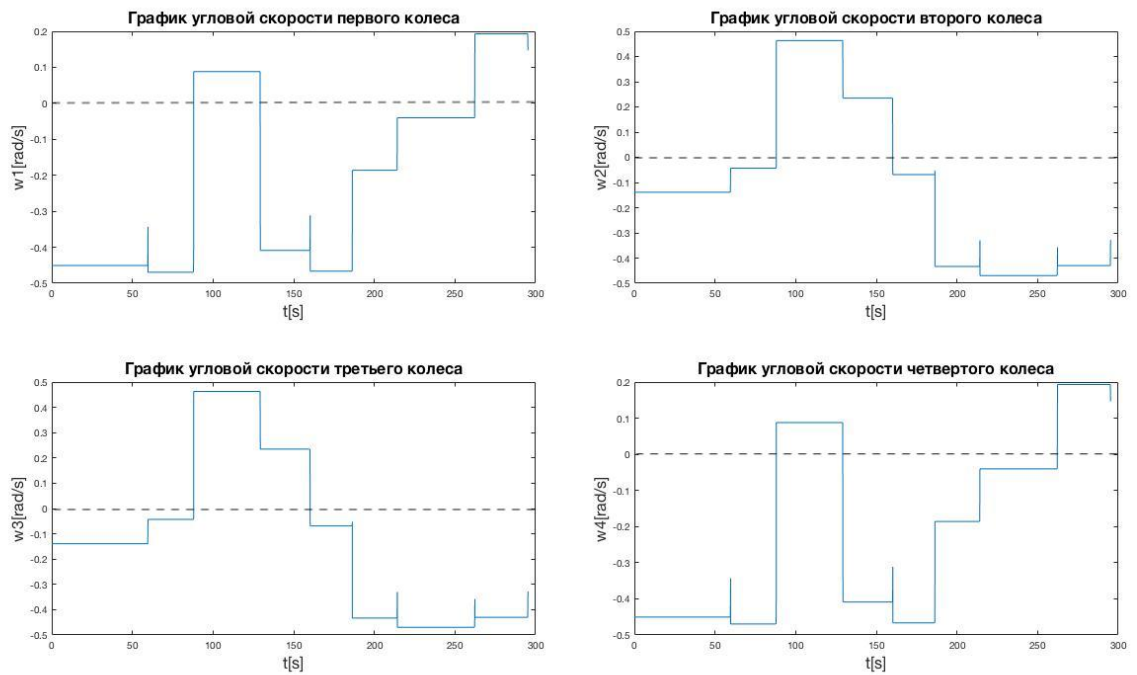


Рис. 21: Графики угловых скоростей колес робота.

## Заключение

В процессе работы были решены следующие задачи:

1. Рассмотрены алгоритмы поиска пути.
2. Разработаны два режима работы омниколесного робота.
3. Построены законы управления в форме обратной связи  $\omega_i = \omega_i(\rho_j, \alpha_j)$ ,  $i = \overline{1, 4}$  для двух режимов работы робота, которые обеспечивают автономное движение омниколесного мобильного робота вдоль расчетной траектории, согласно выделенному множеству её точек  $P_j$ ,  $j = \overline{0, n}$ .
4. Модифицированным методом вероятностной дорожной карты рассчитана траектория движения омниколесного робота в виде набора точек  $P_j$ ,  $j = \overline{0, n}$ .
5. Средствами MATLAB & Simulink реализован программный комплекс по моделированию автономного движения омниколесного робота по расчетной траектории. В приложении к работе приведен программный код на языке Matlab построения маршрута движения (Приложение 1), моделирования первого (Приложение 2) и второго (Приложение 3) режимов работы омниколесного робота.

Стоит заметить, что для второго случая реализации движения параметр  $\beta$  определяет желаемую ориентацию, которая может быть обусловлена конкретной постановкой задачи, омниколесного робота в абсолютном пространстве. Идентификация параметров  $V_{ref}$  и  $k_\omega$  для реальной модели робота является отдельной задачей и при проектировании может быть проведена с помощью численных экспериментов.

## Список литературы

- [1] LaValle S.M. «Planning Algorithms». Cambridge University Press. 2006. С. 228,229.
- [2] Борисов О.И., Громов В.С., Пыркин А.А. «Методы управления робототехническими приложениями. Учебное пособие». СПб.: Университет ИТМО, 2016. С. 41–46.
- [3] Thomas Bräunl.«Embedded Robotics: Mobile Robot Design and Applications with Embedded Systems». Springer Science & Business Media. 2008. P. 147–156.
- [4] J. Agulló, S. Cardona, J. Vivancos.«Kinematics of vehicles with directional sliding wheels». Mechanism and Machine Theory, Volume 22, Issue 4, 1987, P. 295–301.
- [5] Ю. Л. Караваев, С. А. Трефилов, «Дискретный алгоритм управления по отклонению мобильным роботом с омниколесами», Нелинейная динам., 2013, том 9, номер 1, 91–100
- [6] Ferreira A., Vassallo R.F., Pereira F.G., Filho T.F.B., Filho M.S. «An approach to avoid obstacles in mobile robot navigation: the tangential escape»// Controle y Automacao. 2008. V.19. N 4. P. 395–405.
- [7] Сетевой ресурс: <https://www.mathworks.com/help/> – документация к MATLAB & Simulink. Дата обращения: 18.03.2020.
- [8] Маркеев А.П. «Теоретическая механика». 2-е изд. Учебник для университетов. Москва: ЧеРо. 1999, 572 стр.
- [9] Сетевой ресурс: [https://habrastorage.org/getpro/habr/post\\_images/16b/547/8d4/16b5478d425906c486d29153e2055e73.png](https://habrastorage.org/getpro/habr/post_images/16b/547/8d4/16b5478d425906c486d29153e2055e73.png) – Рисунок 8. Дата обращения: 20.04.2020
- [10] Сетевой ресурс: <https://i.pinimg.com/564x/4f/a0/dc/4fa0dcee7ed5413ea8f3ca1e5051273c.jpg> – Рисунок 1. Дата обращения: 20.04.2020.

- [11] Сетевой ресурс: <http://www.membrana.ru/storage/img/n/n0w.jpg> –  
Рисунок 2. Дата обращения: 20.04.2020.
- [12] Сетевой ресурс: <https://www.cs.cmu.edu/~gwp/robots/Uranus.jpg> –  
Рисунок 3. Дата обращения: 20.04.2020.

# Приложение 1

```
1 % creating obstacle map
2 testMap = [...
3     1 1 1 1 1 1 1 1 1 1 1 1 1 1 1 1 1 1 1 1;
4     1 0 0 0 0 0 0 0 0 0 0 0 1 0 0 0 0 0 0 1;
5     1 0 0 0 0 0 0 0 0 0 0 0 1 0 0 0 0 0 0 1;
6     1 1 1 1 1 0 0 0 0 0 0 0 1 0 0 0 0 0 0 1;
7     1 0 0 0 1 0 0 0 0 0 0 0 1 1 1 1 0 0 0 1;
8     1 0 0 0 1 0 0 0 0 0 0 0 0 0 0 0 0 0 0 1;
9     1 0 0 0 1 0 0 0 0 0 0 0 0 0 0 0 0 0 0 1;
10    1 0 0 0 1 1 1 1 1 1 1 0 0 0 0 0 0 0 0 1;
11    1 0 0 0 0 0 0 0 1 0 0 0 0 0 0 0 0 0 0 1;
12    1 0 0 0 0 0 0 0 1 0 0 0 0 0 0 0 0 0 0 1;
13    1 0 0 0 0 0 0 0 1 0 0 0 1 1 1 1 1 1 1 1;
14    1 0 0 0 1 0 0 0 0 0 0 0 0 0 0 0 1 0 0 1;
15    1 0 0 0 1 0 0 0 0 0 0 0 0 0 0 0 1 0 0 1;
16    1 0 0 0 1 0 0 0 0 0 0 0 0 0 0 0 1 0 0 1;
17    1 0 0 0 1 1 1 1 1 1 1 1 1 0 0 0 0 0 0 1;
18    1 0 0 0 0 0 0 0 0 0 0 0 0 1 0 0 0 0 0 1;
19    1 0 0 0 0 0 0 0 0 0 0 0 0 1 0 0 0 0 0 1;
20    1 0 0 0 0 0 0 0 0 0 0 0 0 1 0 0 0 0 0 1;
21    1 0 0 0 0 0 0 0 0 0 0 0 0 1 0 0 0 0 0 1;
22    1 1 1 1 1 1 1 1 1 1 1 1 1 1 1 1 1 1 1 1];
23
24 start = [0.5 0.5]; % start point
25 finish = [0.5 3.5]; % end point
26 map = binaryOccupancyMap(testMap,5); % creates binary occupancy
27 % map 4x4 meters
28
29 % pathfinding
30 rngState = rng;
31 prm = mobileRobotPRM(map,200);
32 path = findpath(prm,start,finish);
33 rng(rngState);
34 path = findpath(prm,start,finish);
35 show(prm)
36 % path points in mm
37 Xprm = path(:,1)*1000;
38 Yprm = path(:,2)*1000;
39 % deleteting the 2nd and (n-1)th points for better path
40 Xprm(2) = [];
41 Yprm(2) = [];
42 Xprm(end-1) = [];
43 Yprm(end-1) = [];
```

## Приложение 2

```
1 eps = 10e-3; % exit condition for alpha
2 delta = 10e-1; % exit condition for rho
3 e = 200; % robot length in mm
4 d = 100; % robot width in mm
5 r = 30; % radius of robot wheels in mm
6
7 Vref = 10; % max velocity in mm/s
8
9 komega = 0.1;
10
11 % velocity vector direction
12 Vx = 5; % mm/s
13 Vy = 2; % mm/s
14
15 beta_star = atan2(Vy, Vx); %rad
16
17 % matrix for conversion of linear velocity of robot and its angle
18 % velocity to angle velocity of wheels
19
20 invMotionMatrix = (1/r)*[1 -1 (e + d)/-2;...
21                          1 1 (e + d)/2;...
22                          1 1 (e + d)/-2;...
23                          1 -1 (e + d)/2];
24
25 % initiation of motion
26 n = max(size(path))-3;
27 w1 = [];
28 w2 = [];
29 w3 = [];
30 w4 = [];
31 rho = [];
32 alpha = [];
33 VX = [];
34 VY = [];
35 omega = [];
36 theta = [];
37 rhoT = 0;
38 alphaT = 0;
39 thetaT = 0;
40
41 % motion from P_j to P_j+1
42 for i = 1:n
43     rho0 = sqrt((Xprm(i+1)-(Xprm(i)-rhoT*cos(thetaT)))^2 ...
44               +(Yprm(i+1)-(Yprm(i)-rhoT*sin(thetaT)))^2);
```

```

45     theta0 = atan2((Yprm(i+1)-(Yprm(i)-rhoT*sin(thetaT))),...
46                   (Xprm(i+1)-(Xprm(i)-rhoT*cos(thetaT))));
47     alpha0 = thetaT + alphaT - theta0;
48
49     out = sim('eqns1st',inf);
50     w1 = [w1; out.w1];
51     w2 = [w2; out.w2];
52     w3 = [w3; out.w3];
53     w4 = [w4; out.w4];
54     rho = [rho; out.rho];
55     alpha = [alpha; out.alpha];
56     VX = [VX;out.VX];
57     VY = [VY;out.VY];
58     omega = [omega;out.omega];
59     theta = [theta;out.theta];
60     rhoT = rho(end);
61     alphaT = alpha(end);
62     thetaT = theta(end);
63 end
64
65 n = size(w1);
66 n = n(1);
67 t = 0:0.001:n/1000 - 0.001; % time vector
68
69 % calculating moments of time when robot switch movement direction
70 switchPoints = 1;
71 for i=1:size(VX)-1
72     temp = rho(i)-rho(i+1);
73     if temp <= 0
74         switchPoints = [switchPoints;i];
75     end
76 end
77 switchPoints = [switchPoints;n];
78
79 % calculating robot's path in OXY
80 X = Xprm(1);
81 Y = Yprm(1);
82 k=1;
83 for i=1:size(VX)-1
84     X = [X;Xprm(k+1) - rho(i)*cos(theta(i))];
85     Y = [Y;Yprm(k+1) - rho(i)*sin(theta(i))];
86     if i == switchPoints(k+1)
87         k = k+1;
88     end
89 end

```

## Приложение 3

```
1 delta = 10e-1; % exit condition for rho
2 e = 200; % robot length in mm
3 d = 100; % robot width in mm
4 r = 30; % radius of robot wheels in mm
5
6 Vref = 10; % max velocity in mm/s
7
8 komega = 0.1;
9
10 b = @(t) 5; % beta
11
12 % matrix for conversion of linear velocity of robot and its angle
13 % velocity to angle velocity of wheels
14
15 invMotionMatrix = (1/r)*[1 -1 (e + d)/-2;...
16                          1 1 (e + d)/2;...
17                          1 1 (e + d)/-2;...
18                          1 -1 (e + d)/2];
19
20 % initiation of motion
21 n = max(size(path))-3;
22 w1 = [];
23 w2 = [];
24 w3 = [];
25 w4 = [];
26 rho = [];
27 alpha = [];
28 VX = [];
29 VY = [];
30 omega = [];
31 theta = [];
32 rhoT = 0;
33 alphaT = 0;
34 thetaT = 0;
35
36 % motion from P_j to P_{j+1}
37 for i = 1:n
38     rho0 = sqrt((Xprm(i+1)-(Xprm(i)-rhoT*cos(thetaT)))^2 ...
39               +(Yprm(i+1)-(Yprm(i)-rhoT*sin(thetaT)))^2);
40     theta0 = atan2((Yprm(i+1)-(Yprm(i)-rhoT*sin(thetaT))),...
41                  (Xprm(i+1)-(Xprm(i)-rhoT*cos(thetaT))));
42     alpha0 = 0;
43
44     out = sim('eqns2nd',inf);
```

```

45     w1 = [w1; out.w1];
46     w2 = [w2; out.w2];
47     w3 = [w3; out.w3];
48     w4 = [w4; out.w4];
49     rho = [rho; out.rho];
50     VX = [VX;out.VX];
51     VY = [VY;out.VY];
52     omega = [omega;out.omega];
53     theta = [theta;out.theta];
54     rhoT = rho(end);
55     thetaT = theta(end);
56 end
57
58 n = size(w1);
59 n = n(1);
60 t = 0:0.001:n/1000 - 0.001; % time vector
61
62 % calculating moments of time when robot switch movement direction
63 switchPoints = 1;
64 for i=1:size(VX)-1
65     temp = rho(i)-rho(i+1);
66     if temp <= 0
67         switchPoints = [switchPoints;i];
68     end
69 end
70 switchPoints = [switchPoints;n];
71
72 % calculating robot's path in OXY
73 X = Xprm(1);
74 Y = Yprm(1);
75 k=1;
76 for i=1:size(VX)-1
77     X = [X;Xprm(k+1) - rho(i)*cos(theta(i))];
78     Y = [Y;Yprm(k+1) - rho(i)*sin(theta(i))];
79     if i == switchPoints(k+1)
80         k = k+1;
81     end
82 end

```